

Transformações do Campo

Série e Transformada de Fourier

Caso Unidimensional:

Se $f(t)$ é periódica e satisfaz as condições de Dirichlet (seus valores são continuamente ~~contínuo~~ monótono) e ~~intervais~~ abertos

$$f(t) = \sum_{k=-\infty}^{\infty} C_k e^{i \frac{2\pi}{T} kt} \rightarrow \text{série de Fourier}$$

$$\text{onde } C_k = \frac{1}{T} \int_{-\frac{T}{2}}^{\frac{T}{2}} f(t) e^{-i \frac{2\pi}{T} kt} dt$$

→ a função $f(t)$ pode ser ~~ser~~ representada por uma série de potências $\Rightarrow f(t) \rightarrow \{..., c_{-2}, c_{-1}, c_0, c_1, c_2, ... \}$

$$w = \frac{2\pi}{T} \rightarrow \text{frequência angular} \quad T \rightarrow \text{período da função em segundos}$$

→ se a função não for periódica: considere-se que o período da função seja infinito \Rightarrow função periódica com período $T \rightarrow \infty$

→ converter de período para frequência \Rightarrow que ai fica mais fácil para trabalhar porque c_k tende aparentemente para zero. Como é uma série \Rightarrow ~~é~~ \sum

$$f(t) = \sum_{k=-\infty}^{\infty} \frac{c_k}{2\pi} e^{i \frac{2\pi}{T} kt} = \sum_{k=-\infty}^{\infty} \int_{-\frac{T}{2}}^{\frac{T}{2}} f(t) e^{-i \frac{2\pi}{T} kt} dt$$

quando $T \rightarrow \infty$ ($k \Delta w \rightarrow \omega$) os termos anteriores

$$f(t) = \frac{1}{2\pi} \int_{-\infty}^{\infty} e^{i \omega t} \underbrace{\int_{-\infty}^{\infty} f(t) e^{-i \omega t} dt}_{\text{integrais de entregar}} dw$$

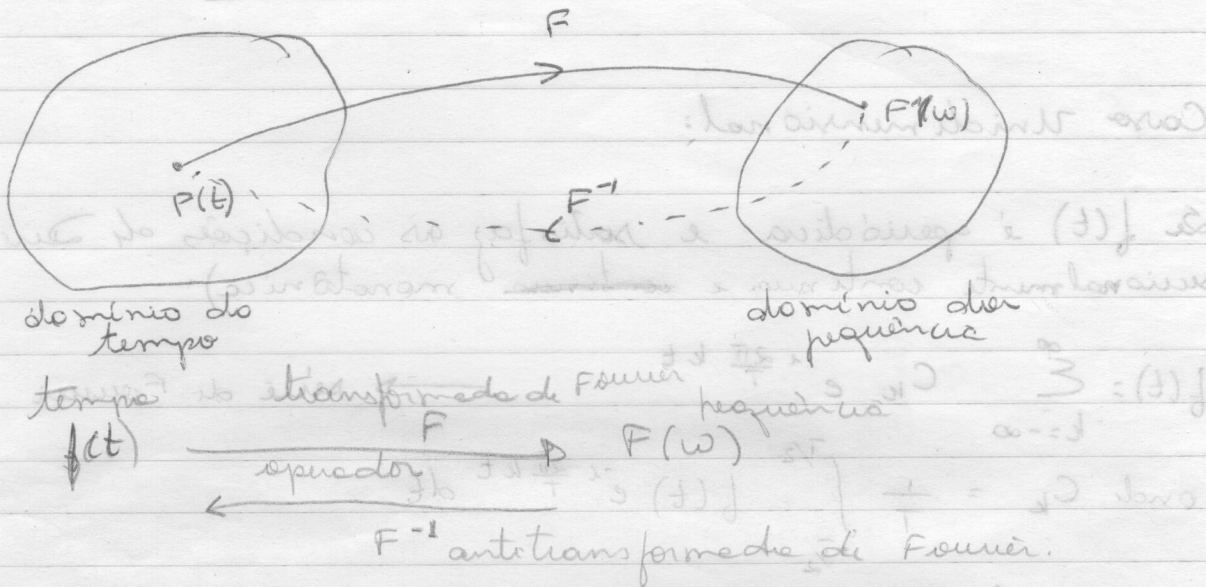
$$f(t) = \frac{1}{2\pi} \int_{-\infty}^{\infty} F(\omega) e^{i \omega t} dw \quad F(\omega)$$

1 26

$$f(t) \xrightarrow{\text{operador } F} F(w) = \int_{-\infty}^{\infty} f(t) e^{-iwt} dt$$

$F(w) \Rightarrow$ transformada de Fourier

transformada de Fourier transformando a função



espectro de $F(w) \Rightarrow$ é o domínio de espectro de uma função
espectro de fase pode ser de fase ou amplitude.

espectro de amplitude p/ qualquer componente k: $|F_k| = \sqrt{a_k^2 + b_k^2}$

\rightarrow se eu quiser escrever em termos de sen e cos:

$$f(x) = \frac{a_0}{2} + \sum_{n=1}^{\infty} (a_n \cos(k_n x) + b_n \sin(k_n x)) \rightarrow$$

síntese de Fourier completa

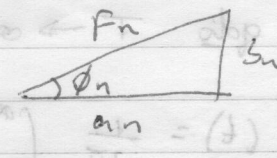
$$a_n = \frac{2}{L_x} \int_{-\frac{L_x}{2}}^{\frac{L_x}{2}} f(x) \cos(k_n x) dx \quad n=0, 1, 2, \dots$$

$$b_n = \frac{2}{L_x} \int_{-\frac{L_x}{2}}^{\frac{L_x}{2}} f(x) \sin(k_n x) dx \quad n=0, 1, 2, \dots$$

\Rightarrow f(x) no intervalo $-\frac{L_x}{2} \leq x \leq \frac{L_x}{2}$ e periódica em L_x

espectro de amplitude $|F_n| = (a_n^2 + b_n^2)^{1/2}$

espectro de fase $\phi_n = \tan^{-1} \left(\frac{b_n}{a_n} \right)$



$F(w) \cdot F^*(w) \Rightarrow$ espectro de potência (i.e. o quadrado do espectro de amplitude)

$F^*(w) \Rightarrow$ conjugado de $F(w)$ $(x+iy) \rightarrow (x-iy)$ (\rightarrow conjugado)

propriedades:

$$\mathcal{F}\{\alpha f(t) + \beta g(t)\} = \alpha F(s) + \beta G(s)$$

intervalo aberto referente a variável s

$$at\ s=0 \rightarrow F(0)$$

$$at\ s=\infty \rightarrow F(\infty)$$

propriedades:

$$\text{ref 1)} \mathcal{F}\{\alpha f(t) + \beta g(t)\} = \alpha \mathcal{F}\{f(t)\} + \beta \mathcal{F}\{g(t)\} \rightarrow \text{linearidade}$$

intervalo aberto

$$2) f(t) \rightarrow F(s) \quad H(s) = i\omega F(s) \quad \text{transformada de}$$

$$f'(t) \rightarrow H(s)$$

$s = i\omega$ derivada

ou aberto entre $s = 0$ e ∞

Para o caso bi-dimensional se observa

$$f(t) \xrightarrow{\mathcal{F}} F(s) \rightarrow \text{caso unidimensional}$$

$$\text{se tivermos } f(x, y) \xrightarrow{\mathcal{F}} F(\mu, v) \quad (x, y) \in \mathbb{R}^2$$

teremos:

$$F(\mu, v) = \frac{1}{4\pi^2} \int_{-\infty}^{\infty} \int_{-\infty}^{\infty} f(x, y) e^{-i\mu x} dx e^{-i\nu y} dy$$

$$f(x, y) = \int_{-\infty}^{\infty} \int_{-\infty}^{\infty} F(\mu, v) e^{i\mu x} e^{i\nu y} d\mu dv$$

propriedades:

$$\text{ref 2)} f(x, y) \rightarrow F(\mu, v) \rightarrow \frac{\partial F(\mu, v)}{\partial x} = i\mu F(\mu, v) \quad \text{referindo ao operador de derivada no domínio da função}$$

$$\frac{\partial f(x, y)}{\partial x} = i\mu F(\mu, v)$$

analogamente

operador derivada no domínio da função

Transformada discreta

função contínua mas em vários pontos discretos de



função \rightarrow transformada discreta:

$$\Delta t = 1 \quad t = 0, 1, 2, \dots, N-1 \quad \text{pontos}$$

$$w = 0, 1, 2, \dots, N-1$$

$$F(w) = \sum_{t=0}^{N-1} f(t) e^{-\frac{2\pi i w t}{N}} \quad w = 0, 1, \dots, N-1 \rightarrow \text{transformada discreta}$$

$$f(t) = \frac{1}{N} \sum_{w=0}^{N-1} F(w) e^{\frac{2\pi i w t}{N}} \quad t = 0, 1, \dots, N-1$$

$N \rightarrow$ o número total de pontos amostrados no intervalo Δt e a aproximação para o sinal

$$w = \frac{2\pi}{N \Delta t} \quad (w) \rightarrow w = 0, 1, \dots, (N/2)$$

\rightarrow w em radianos (y, x) convertido

obter a Transformada discreta é como se projetar o sinal amostrado pelo (projeto) de Duas (v, u) $f(n \cdot \Delta t) \rightarrow$ função amostra da em n intervalos de Δt

$$f(n \cdot \Delta t) = \sum_{n=-\infty}^{\infty} w(n \cdot \Delta t) \delta(t - n \cdot \Delta t)$$

$f \rightarrow$ série de linhas de altura infinita mas com área igual ao valor da função $w(t)$

referência: Kanasewich, G.R. 1981 Time sequence analysis in Geophysics 3rd Ed. The University of Alberta Press. (cap. 3)

$F(w)$ e $f(t)$ podem ser rapidamente calculados utilizando os algoritmos de FFT (Fast Fourier Transform) utilizando as cintas

estudos observacionais

do atento ataq caro na contra ior

Soluções da Equação de Laplace

$$\nabla^2 U = 0 \quad U = U(x, y, z)$$

equação de Laplace é válida ~~a parte~~ na superfície da Terra e fora dela. Se pode usar dentro de Terra se não cruzar as fontes responsáveis pelo gravitacional (massas magnéticas ou gravimétricas). Se cruzar as fontes, então é necessário avesentá-las na equação \Rightarrow trabalhe com a eq. de Poisson.

Soluções da eq. de Laplace em coordenadas cartesianas

$$\nabla^2 U = 0 \Rightarrow \frac{\partial^2 U}{\partial x^2} + \frac{\partial^2 U}{\partial y^2} + \frac{\partial^2 U}{\partial z^2} = 0$$

porque $\left. \begin{array}{l} \text{gravimétrico: } g_B = -\frac{\partial U}{\partial z} \\ \text{magnético: } T = \frac{\partial U}{\partial t} \end{array} \right\}$

$T = \frac{\partial U}{\partial t}$ componente do campo

\hookrightarrow São essas componentes que em geral é bom resolver a eq. em coordenadas cartesianas.

Soluções pelo método de separação de variáveis:

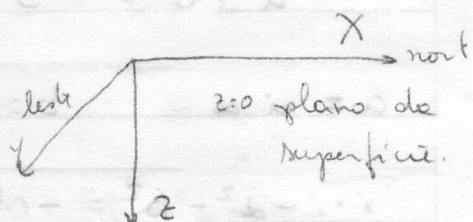
$$U(x, y, z) = X(x) \cdot Y(y) \cdot Z(z)$$

~~$\nabla^2 U = \frac{\partial^2 U}{\partial x^2} + \frac{\partial^2 U}{\partial y^2} + \frac{\partial^2 U}{\partial z^2}$~~

~~$\nabla^2 U = \frac{\partial^2 X(x)}{\partial x^2} + \frac{\partial^2 Y(y)}{\partial y^2} + \frac{\partial^2 Z(z)}{\partial z^2}$~~

$$\nabla^2 U = \frac{d^2 X(x)}{dx^2} Y(y) Z(z) + X(x) \frac{d^2 Y(y)}{dy^2} Z(z) + X(x) Y(y) \frac{d^2 Z(z)}{dz^2}$$

$$\therefore X(x) Y(y) Z(z)$$



$$\frac{1}{X(x)} \frac{d^2 X(x)}{dx^2} + \frac{1}{Y(y)} \frac{d^2 Y(y)}{dy^2} + \frac{1}{Z(z)} \frac{d^2 Z(z)}{dz^2} = 0$$

a rebação só é válida para todos os expoços se cada um dos fatores for constante.

$$a^2 + b^2 + c^2 = 0$$

→ procuramos a solução separando fator:

$$\frac{1}{X(x)} \frac{d^2 X(x)}{dx^2} = a^2$$

Solução particular é uma exponencial:

$$X(x) = e^{\pm ax}$$

da mesma forma é possível encontrar soluções semelhantes para $Y(y)$ e $Z(z)$:

$$Y(y) = e^{\pm by} \quad e \quad Z(z) = e^{\pm cz}$$

$$\text{com } a^2 + b^2 + c^2 = 0$$

~~se~~ se um dos três (a, b, c) for diferente de zero, não é possível ~~que~~ que todos sejam nulos para satisfazer a igualdade. Então

$$a^2 + b^2 = -c^2 \quad \text{e escolhemos } a \text{ e } b \text{ puramente imaginários:}$$

$$a = i\alpha \quad b = i\beta$$

$$\therefore -\alpha^2 - \beta^2 = -c^2 \Rightarrow c^2 = \alpha^2 + \beta^2$$

então a solução da equação fica

$$X(x) Y(y) Z(z) = e^{\pm i\alpha x} e^{\pm i\beta y} e^{\pm \sqrt{\alpha^2 + \beta^2} z}$$

- $Z(z) = 0$ (z aponta p/ baixo):

Os exponentiais negativos soluções (explode).

(4)

escolher como soluções todos os exponentiais positivas

$$U(x, y, z) = e^{i\alpha x} e^{i\beta y} e^{\sqrt{\alpha^2 + \beta^2} z}$$

agora só é f.p. achar os coeficientes. (temos uma solução particular da equação. A combinação linear destas soluções também é solução da eq. de Laplace).

$$U(x, y, z) = c_1 e^{i(\alpha x + \beta y)} e^{\sqrt{\alpha^2 + \beta^2} z} + c_2 e^{-i(\alpha x + \beta y)} e^{\sqrt{\alpha^2 + \beta^2} z}$$

generalizando

$$U(x, y, z) = \int_{-\infty}^{\infty} \int_{-\infty}^{\infty} C(\alpha, \beta) e^{i(\alpha x + \beta y) + \sqrt{\alpha^2 + \beta^2} z} d\alpha d\beta$$

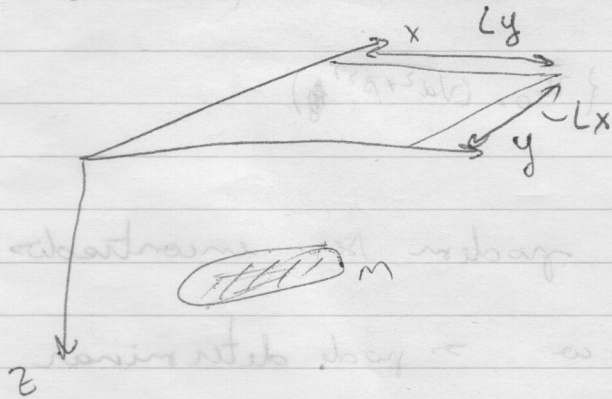
como as medidas são feitas em $z=0$ (plano de observação), a integral acima fixa o valor de z

$$U(x, y, 0) = \int_{-\infty}^{\infty} \int_{-\infty}^{\infty} C(\alpha, \beta) e^{i(\alpha x + \beta y)} d\alpha d\beta \rightarrow \text{transformada}$$

inversa de $C(\alpha, \beta)$

$$U(x, y, 0) = \frac{F}{F^{-1}} C(\alpha, \beta)$$

Para o caso discreto



$$k_x = \frac{2\pi n}{L_x}$$

$$L_x = (N-1) \Delta x$$

$$k_y = \frac{2\pi m}{L_y}$$

$$L_y = (M-1) \Delta y$$

$N \Rightarrow$ número de dados na direção x

$M \Rightarrow$ número de dados na direção y

$$k_z = \sqrt{k_x^2 + k_y^2} \quad \Delta x = \Delta y$$

$$U(x, y, z) = \sum_{n=1}^N \sum_{m=1}^M C_{nm} e^{ik_x x} e^{ik_y y} e^{ik_z z}$$

C_{nm} coeficientes de Fourier da função $U(x, y, z=0)$

avaliar em aplicações geofísicas

(Transformações do campo potencial)

1) derivadas parciais $\rightarrow x, y, z \rightarrow$ tipo de transformação
avaliação campo potencial

$\frac{\partial}{\partial x}, \frac{\partial}{\partial y}, \frac{\partial}{\partial z}$ São todos operadores lineares

$$\tilde{g}_z = -\frac{\partial u}{\partial z} \rightarrow \text{força éra uma direção} \rightarrow \text{a derivada do potencial nessa direção.}$$

Derivado potencial gravimétrico \rightarrow força gravimétrica

Δg é a anomalia Δg (\Rightarrow que é a componente vertical do grad $u = u_z$)

$$u_z(x, y, z) = \frac{\partial u(x, y, z)}{\partial z} = \int_{-\infty}^{\infty} \int_{-\infty}^{\infty} \sqrt{\alpha^2 + \beta^2} \underbrace{C(\alpha, \beta)}_{D(\alpha, \beta)} e^{i(\alpha x + \beta y) + \sqrt{\alpha^2 + \beta^2} z} d\alpha d\beta$$

$D(\alpha, \beta) \rightarrow$ anti transformada

$$\sqrt{\alpha^2 + \beta^2} C(\alpha, \beta) = D(\alpha, \beta) \xleftarrow[F^{-1}]{F} \Delta g(x, y) | z=0$$

então:

$$\Delta g(x, y) = \int_{-\infty}^{\infty} \int_{-\infty}^{\infty} D(\alpha, \beta) e^{i(\alpha x + \beta y) + \sqrt{\alpha^2 + \beta^2} z} d\alpha d\beta$$

$$\text{8) } z=0 \quad \frac{\partial}{\partial z} u(x, y, z) = F^{-1} \{ \tilde{u}_0 \cdot (\sqrt{\alpha^2 + \beta^2}) \}$$

~~did para fazer da fórmula~~

analogamente $\frac{d}{dx}$ e $\frac{d}{dy}$ podem ser encontrados.

$$\vec{F} = \frac{\partial \vec{u}}{\partial t} \vec{t} \text{ campo magnético} \rightarrow pode determinar$$

todas as componentes do campo magnético.

derivada horizontal:

$$u_x = \frac{\partial u(x, y, z)}{\partial x} = \int_{-\infty}^{\infty} \int_{-\infty}^{\infty} i\alpha \underbrace{C(\alpha, \beta)}_{D'(\alpha, \beta)} e^{i(\alpha x + \beta y) + \sqrt{\alpha^2 + \beta^2} z} d\alpha d\beta$$

(5)

$$1) d\mathcal{D}(\alpha, \beta) = \mathcal{D}'(\alpha, \beta) \xrightarrow[F^{-1}]{F} \frac{\partial u}{\partial x}(x, y, z) \text{ (g aposentadoria) } \alpha < 5$$

(abre ab aposentadoria) aposentadoria

2) continuação ~~proxima~~ do campo gravitacional

$$g(x, y, z) = \frac{\partial u}{\partial z}(x, y, z) = \int_{-\infty}^{\infty} \int_{-\infty}^{\infty} \sqrt{\alpha^2 + \beta^2} C(\alpha, \beta) e^{i(\alpha x + \beta y)} e^{i(\alpha^2 + \beta^2)z} d\alpha d\beta$$

(abre ab aposentadoria) aposentadoria

$\Delta g(x, y, \bar{z}) \rightarrow$ em um plano z qualquer:

$$\Delta g(x, y, \bar{z}) = \int_{-\infty}^{\infty} \int_{-\infty}^{\infty} \bar{\mathcal{D}}(\alpha, \beta) e^{i(\alpha x + \beta y)} e^{i(\alpha^2 + \beta^2)\bar{z}} d\alpha d\beta$$

$$\bar{\mathcal{D}}(\alpha, \beta) = \underbrace{e^{i(\alpha^2 + \beta^2)\bar{z}}}_{\text{fator de continuação}} \mathcal{D}(\alpha, \beta) \quad \begin{array}{l} \text{apenas} \\ \text{aposentadoria} \end{array}$$

este é a anomalia $\Delta g(x, y, \bar{z})$ que seria observada em um plano de observação $z = \bar{z}$

Percebemos que:

$$\underbrace{\Delta g(x, y, 0)}_{\text{observações}} \xrightarrow[F]{\text{transf. de Fourier}} \mathcal{D}(\alpha, \beta) \xrightarrow[\text{fator de continuação}]{e^{i(\alpha^2 + \beta^2)\bar{z}}} \bar{\mathcal{D}}(\alpha, \beta) \xrightarrow[F]{\text{transf. de Fourier}} \Delta g(x, y, \bar{z})$$

observações ab x giro

observações ab y giro

fator de continuação art-transf.

$x \text{ mes } \theta$

campo magnético e campo discrete

$$T(x, y, z) = \sum_{n=0}^{N_x} \sum_{m=0}^{N_y} \tilde{T}_0(k_x, k_y) e^{i(k_x x + k_y y)} e^{i k_z z}$$

$\tilde{T}_0(k_x, k_y) \rightarrow$ coeficientes de Fourier de $T_0(x, y)$

$k_x, k_y, k_z \rightarrow$ números de ondas no abastecimento

$$k_x = \frac{2\pi n \delta x}{L_x} \quad n = 0, 1, \dots, N_x \quad k_z^2 = k_x^2 + k_y^2$$

$k_y = \frac{2\pi m \delta y}{L_y} \quad m = 0, 1, \dots, N_y$

$z > 0$ continuações p/ baixo: enfatiza as altas frequências (pequenos comprimentos de onda)
 e^{kz} \rightarrow explod. \rightarrow os níveis (altos/pequenos) ficam entrelaçados ab ~~anterior~~ a posterior (s)

$z < 0$ continuações p/ cima: atenua as altas frequências, bem p/ ver os grandes comprimentos de onda.

: exemplo g analg mne $\leftarrow (\bar{z}, \bar{y}, \bar{x}) \vec{p} \Delta$

outros operadores

operações continuações $(\bar{y}, \bar{z}) \vec{C} \rightarrow (\bar{y}, \bar{z}) \vec{C} \left[\begin{matrix} \alpha \\ \beta \end{matrix} \right] = (\bar{y}, \bar{z}) \vec{p} \Delta$

derivada vertical $\sqrt{\alpha^2 + \beta^2}$

derivada zE vertical $\bar{z} = \sqrt{\alpha^2 + \beta^2}$

comp. x de derivada (ix)

horizontal

comp. y de derivada (iβ)

horizontal

derivada horizontal ne

direção n formando ângulo

θ com x

derivada direcional ne $i\alpha n_1 + i\beta n_2 + \sqrt{\alpha^2 + \beta^2} n_3$

direções R, onde n é um s (junt com) $\vec{n} = (n_1, n_2, n_3)$

vetor

anomalia $F \rightarrow$ coef. de operador \rightarrow coef. de Fourier $\xrightarrow{F^{-1}}$ onomalia transformada

Deveremos considerar quais que devem ser feitos para usar transformada de Fourier (FFT)

rápida

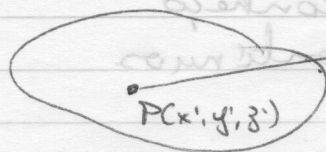


- os dados não se estendem até o infinito residual
- onde não conhecemos os dados, considera-se como repetições cíclicas da onde eu conheço
- os dados são discutos e não contínuos

Reduções ao polo de anomalias magnéticas ($x-x_0$) = s_n

- técnica de interpretação para mapas magnéticos aeromagnéticos, que pretende eliminar a distorção causada pelas inclinações do vetor magnetização.
- em gravimetria existe uma relação simples entre causa e efeito, ou seja, entre corpo geológico e a anomalia residual observada sobre o corpo de alta ou baixa densidade. Mas em magnetometria, a anomalia associada a um corpo quase sempre apresenta uma distorção devido ao vetor magnetização, ~~que~~ usualmente, é inclinado. Este problema não ocorre no polo onde o campo magnético induzido é vertical e a magnetização remanescente também é vertical.
- redução ao polo → técnica que consiste em calcular pseudo-anomalias que seriam causadas por corpos magnetizados sob a suposição que a magnetização e o campo externo induzido, não, ambos, verticais, utilizando a relação de Poisson.
I com isto → pretende-se realçar a complexidade do corpo e não do campo, pois no polo só existe uma componente.
- Se a redução ao polo não produz uma anomalia simples, pode ter dois motivos para que isto aconteça:
 - 1) magnetização remanescente → dando valores até acertar ou medir em laboratório
 - 2) corpo é assimétrico com forte mergulho em uma direção.

Consideremos a distribuição de massa magnética abaixo:



$$r^2 = (x - x')^2 + (y - y')^2 + (z - z')^2 \Rightarrow \text{distância entre } P \text{ e } M.$$

O potencial magnético em M é escrito como:

$$V(m) = \iiint \vec{J}(P) \cdot \text{grad}_m \left(\frac{1}{r} \right) d\tau$$

onde $d\tau$ é o elemento de volume

$\vec{J}(P) = J(P) \hat{z}$ é a magnetização constante na direção \hat{z} . Variar de intensidade é fácil, isso permite considerar a permanência da

$$\text{grad}_m \left(\frac{1}{r} \right) = -\text{grad}_m \left(\frac{1}{r} \right)$$

Portanto $\vec{J}(P) \rightarrow x', y', z'$ e $\text{grad}_m(x', y', z')$ são simétricos. Então o potencial magnético pode ser escrito como:

$$V(m) = -\vec{v} \iiint \vec{J}(P) \cdot \text{grad}_m \left(\frac{1}{r} \right) d\tau = -\vec{v} \cdot \text{grad}_m \iiint \vec{J}(P) \frac{1}{r} d\tau$$

o potencial newtoniano gravimétrico é:

$$U(m) = \iiint \sigma(P) \frac{1}{r} d\tau$$

Supondo que $J(P) \equiv \sigma(P)$, ou seja, a distribuição de magnetização é numericamente igual à distribuição de densidade

$$V(m) = -\vec{v} \iiint \text{grad}_m \left(\frac{1}{r} \right) \sigma(P) d\tau = -\vec{v} \cdot \text{grad}_m U(m)$$

$$V(m) = -\vec{v} \cdot \text{grad}_m U(m) \Rightarrow \text{produto escalar. (1)}$$

$$\vec{v} \rightarrow \hat{i}, \hat{j}, \hat{n} \quad \hat{i} \cdot \hat{i} = 1 \text{ e outros } 0$$

$$\text{grad}_m \rightarrow \hat{i}, \hat{j}, \hat{n} \quad \hat{i} \cdot \hat{j} = 0 \text{ e } \hat{i} \cdot \hat{n} = 0$$

$$V(m) = -\frac{d^2 U(m)}{dr^2}$$

→ Relação de Poisson é:

campo magnético: $\vec{T}(m) = -\text{grad } V(m)$

supor que \vec{v} é um vetor de magnetização do campo
 \vec{T} é um vetor na direção do campo total

$$T_\lambda = -\vec{v} \cdot \text{grad } V(m) = -\frac{d V(m)}{d \lambda}$$

$$\text{mas } V(m) = -\frac{d^2 U(m)}{dr^2}$$

$$T_\lambda = \frac{d^2 U}{d \lambda d r}$$

→ esta é outra forma de escrever a relação de Poisson.

neste caso a anomalia deve ter uma forma simples, o potencial gravitacional é monopolar (simples).

- no polo $\Rightarrow \lambda = z$ e $\lambda = z \arg$ (só tem uma direção (vertical))

$$T_0 = \frac{d^2 U}{dz^2}$$

$$\frac{d^2 T_0}{d \lambda d \lambda} = \frac{d^2}{d \lambda d \lambda} \left(\frac{d^2 U}{dz^2} \right) = \frac{d^2}{d z^2} \left(\frac{d^2 U}{d \lambda d \lambda} \right) = \frac{d^2}{d z^2} (T_\lambda) = T_\lambda''$$

onde T_λ é para qualquer latitude magnética.
então foi possível relacionar o campo medido T_λ'' com o campo no polo T_0 .

Portanto ($T_0 = \iint T_\lambda'' d \lambda d \lambda$) → integral da redução ao polo

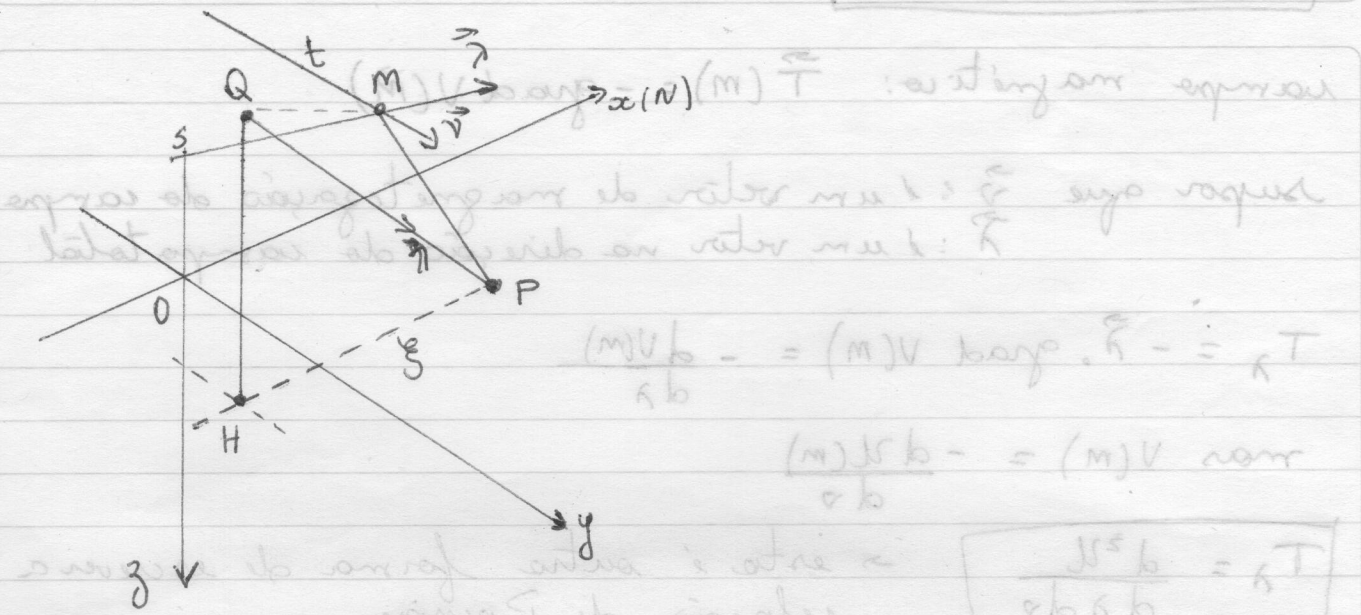
$$\Rightarrow J_{0,0} = \iint (J_{0,0} + e_{x,y} + f_{0,0} + g_{0,0} + h_{0,0} + i_{0,0}) T_\lambda'' d \lambda d \lambda = 0$$

T_λ'' é fácil de obter usando a transformada de Fourier.

do círculo só é possível a transformada de Fourier, mas se desconsiderar só a parte real, só a parte real é útil.

F Para efetuar esta integral considere o seguinte sistema de coordenadas: $\vec{r} = \vec{r}(t)$

$$\frac{(m)Jrb}{rb} - \frac{(m)V}{rb}$$



onde P está no plano de medida $(x, y, 0)$

s variável medida ao longo de \vec{s} é o menor valor
 t variável medida ao longo de \vec{t} é a menor distância entre Q e P

\vec{s} distância da projeção de Q no plano xy , até P

M ponto de observação ou medida $\rightarrow M(x, y, 0)$

Q está no plano xy

O origem do sistema de coordenadas.

$$\vec{OQ} = \vec{Om} + \vec{mQ} = \vec{Om} + \vec{\lambda}s + \vec{\gamma}t$$

$$\vec{m} \Rightarrow (x, y, 0)$$

$$Q \Rightarrow (x + \lambda_1 s + \gamma_1 t, y + \lambda_2 s + \gamma_2 t, z + \lambda_3 s + \gamma_3 t)$$

$$\vec{\lambda} = (\lambda_1, \lambda_2, \lambda_3)$$

$$\vec{\gamma} = (\gamma_1, \gamma_2, \gamma_3)$$

$$T''_A \rightarrow T''_A(Q) \leftarrow (\text{vou passar de } M \text{ para } Q)$$

$$T_0 = \iint T''_A(x + \lambda_1 s + \gamma_1 t, y + \lambda_2 s + \gamma_2 t, z + \lambda_3 s + \gamma_3 t) ds dt \quad 0 \leq s, t < \infty$$

Para obter as expressões para os coeficientes de redução ao polo, vamos lembra a solução das equações de Laplace para o campo magnético T_A , em coordenadas

(8)

contínuas:

$$T_\lambda = T_\lambda(x, y, z) = \iint \tilde{T}(\alpha, \beta) e^{\frac{\sqrt{\alpha^2 + \beta^2}}{2} z} e^{i\alpha x} e^{i\beta y} d\alpha d\beta$$

onde $\tilde{T}(\alpha, \beta)$ são os coeficientes da transformada de Fourier do campo magnético medido (plano de medida $z=0$)

$$\tilde{T}(\alpha, \beta) = \iint T(x, y, z) e^{-i\alpha x} e^{-i\beta y} dx dy \quad \frac{1}{A} = \frac{1}{b} \cdot \frac{1}{a}$$

$\alpha = n^a$ de onde na direção x (k_x)

$\beta = n^a$ de onde na direção y (k_y)

$$k^2 = \alpha^2 + \beta^2$$

$$ab \cdot b \cdot s \cdot \tilde{T}(x + \alpha b, y + \beta b) = (s, \alpha, \beta) \tilde{T}$$

derivando $T_0(m)$ duas vezes em relação a z e trocando m por Q tem-se:

$$i\alpha s \alpha + i\beta s \beta + 8s \beta = E$$

$$T''_\lambda(Q) = \iint \tilde{T}(\alpha, \beta) e^{(s + \lambda_3 s + v_3 t) \beta} e^{i\alpha(x + \lambda_1 s + v_1 t)} e^{i\beta(y + \lambda_2 s + v_2 t)} \beta^2 d\alpha d\beta$$

onde β^2 aparece (porque é a derivada (segunda) em relação a z).

$$\text{absorvendo } s \rightarrow [(s, I_i, I_m, D_i, D_m) \cdot (s, I_i, I_m)]^2 - s^2 = 0$$

$$\text{onde } \lambda_1 = \omega I_i \cos D_i \quad v_1 = \omega I_m \cos D_m$$

$$\lambda_2 = \omega I_i \sin D_i \quad v_2 = \omega I_m \sin D_m$$

$$\lambda_3 = \sin I_i \quad v_3 = \sin I_m$$

$I_i, I_m \rightarrow$ inclinações do campo indutor e do magnético

$D_i, D_m \rightarrow$ declinações do campo indutor e do magnético

ao nível da terra, $0^\circ S$ - do origão a $0^\circ S$ do eixo ab

reagrupando em termos de s e t :

$$T''_\lambda(Q) = \iint \tilde{T}(\alpha, \beta) e^{(\beta s + i\alpha x + i\beta y)} e^{(\lambda_3 \beta + i\lambda_1 \alpha + i\lambda_2 \beta) s} e^{(i\lambda_3 \beta + i v_3 \alpha + i v_2 \beta) t} \beta^2 d\alpha d\beta$$

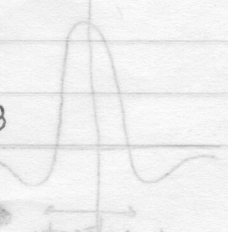
o resultado é que o resultado é que

o resultado é que o resultado é que

$$A = \lambda_3 \beta + i\lambda_1 \alpha + i\lambda_2 \beta$$

$$B = v_3 \beta + i\alpha \lambda_3 + i\beta \lambda_2$$

$$T''_\lambda(Q) = \iint \tilde{T}(\alpha, \beta) e^{\beta s + i\alpha x + i\beta y} e^{As} e^{Bt} \beta^2 d\alpha d\beta$$



$$\text{mas } \bar{T}_0 = \int \int T_0'' ds dt \circ (q, \omega) \bar{T} = (g, \omega) \bar{T} = k \bar{T}$$

resumo daqui de que a expressão para $\bar{T}_0''(Q)$ é muito grande sobre o setor de zero a $-\infty$ (alguém) \Rightarrow isto porque estou integrando para das massas.

$$\int_0^{-\infty} e^{As} ds = \frac{1}{A} \quad \int_0^{-\infty} e^{Bt} dt = \frac{1}{B} \quad 0 < s, t < \infty$$

A expressão para o campo reduzido ao polo no ponto $M(x, y, z)$ é:

$$T_0(x, y, z) = \int \int \tilde{T}(\alpha, \beta) e^{\beta \theta + i \alpha x + i \beta y} \frac{\beta^2}{A, B} d\alpha d\beta$$

onde $A = \lambda_3 \theta + \lambda_1 \alpha i + \lambda_2 \beta i$

$B = \nu_3 \theta + \nu_1 \alpha i + \nu_2 \beta i$

$\frac{\beta^2}{A, B} \Rightarrow$ é o filtro da redução ao polo.

$$F[T_0] = \tilde{T}(\alpha, \beta) C(\alpha, \beta, I_i, D_i, I_m, D_m) \rightarrow \text{transf. de Fourier}$$

$$T_0 = F^{-1}[\tilde{T}(\alpha, \beta) C(\alpha, \beta, I_i, D_i, I_m, D_m)] \rightarrow \text{anti-transformada}$$

onde $C = \frac{\beta^2}{A, B} I_{av} < \infty$

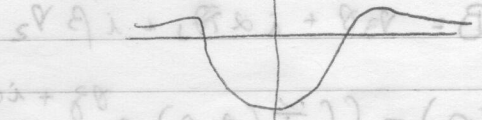
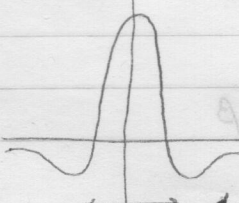
no equador não vale, porque I é muito baixo e os problemas. Latitudes acima de 25° e abaiixo de -25° , usse-se redução ao polo.

Inicialmente considera-se $A = B$ porque não se tem informações sobre a magnetização remanescente. Se ficar estranho para a dar valor a B (para ν) e tenta acertar de novo

pole

lat. intermédia

equador



passar dequi

Redução ao Equador

$T_e \rightarrow$ ramo do equador \Rightarrow horizontal, Declinação é importante.

$$T_e = \frac{d^2 u}{d h^2} \quad \text{onde } h \text{ é a distância dos meridianos magnéticos}$$

$$T_\lambda = \frac{d^2 u}{d \lambda d \nu}$$

$$\frac{d^2 T_e}{d \lambda d \nu} = \frac{d^2}{d \lambda d \nu} \left(\frac{d u}{d h} \right) = \frac{d}{d h} T_\lambda$$

$$\frac{d}{d h} = \vec{h} \cdot \operatorname{grad} u$$

$$T_e = \vec{h} \cdot \operatorname{grad} (\vec{h} \cdot \operatorname{grad} u)$$

$$\vec{h} = \cos D \hat{x} + \sin D \hat{y} \quad D \rightarrow \text{declinação magnética}$$

$$T_e = \left(\cos D \frac{\partial}{\partial x} + \sin D \frac{\partial}{\partial y} \right) \left(\cos D \frac{\partial}{\partial x} + \sin D \frac{\partial}{\partial y} \right) u$$

$$T_e = \iint \left(\cos D \frac{\partial}{\partial x} + \sin D \frac{\partial}{\partial y} \right)^2 T_\lambda d \nu d \lambda$$

$$T_e = \iint \tilde{T}(\alpha, \beta) e^{i \alpha x} e^{i \alpha x} e^{i \beta y} \frac{E}{AB} d \alpha d \beta$$

$$\text{onde } E = -(\alpha \cos D)^2 - 2 \alpha \beta \cos D \sin D - \beta (\sin D)^2$$

A e B normas na redução ao polo.

Redução ao polo foi desenvolvida por Baranov (1958)

ref. para transf. do ramo potencial:

W. Baranov 1975 Potential Field and their transformation in Applied Geophysics. Gebrüder Bornträger, Berlin.

